

# 水稻乾田直播栽培における基肥窒素の肥効増進におよぼす 硝化作用抑制剤の効果

西 原 典 則・恒 吉 利 彦

The Effect of Some Nitrification Inhibitors on the Availability  
of Basic Dressing Nitrogen to the Direct-Sowing  
Rice Plants on Dry Paddy Field.

Tsunenori NISHIHARA and Toshihiko TSUNEYOSHI  
(*Laboratory of Fertilizers*)

## I. 緒 言

水稻の乾田直播栽培において基肥として施した窒素成分は乾田期間中に硝化されて、雨水およびその後の湛水により流亡、脱窒するおそれが大きい。それゆえ水稻乾田直播栽培においては移植栽培に比して一般に窒素肥料の増施および追肥重点の施肥法が導かれており<sup>4)6)7)</sup>。しかしながらこの場合に基肥窒素肥料に硝化作用抑制剤を添加すれば、乾田期間中の硝化が抑制され、その後の湛水による窒素の損失が軽減されて窒素肥料の経済および施肥労力の節減が可能になるものと考えられる。水稻乾田直播栽培における窒素肥料の肥効増進におよぼす硝化作用抑制剤の効果についてはすでに若干の報告<sup>2)3)12)13)15)</sup>がある。著者らは最近研究開発されている数種類の硝化作用抑制剤について、薬品添加濃度と水稻の生育および収量との関係を知るために1965年および1966年にポット栽培試験を行なった。両年ともほぼ同様の試験結果が得られたので、ここには1966年度の成績について報告したい。

この研究を行なうに当たり終始懇意な御指導を賜わった九州大学原田登五郎教授ならびに本学宇田川良三教授に深甚の謝意を表したい。またこの研究の遂行に当って助力を惜しまなかつた中村豊、永尾益郎、高瀬浩、船越義品の諸君ならびに竹下洋子娘に深謝する。なおこの試験に用いた硝化作用抑制剤は九州大学大島康義教授、電気化学工業株式会社、三菱化成工業株式会社、東洋高圧工業株式会社ならびに Dow Chemical Co. より供与を賜わった。ここに感謝の意を捧げる次第である。

## II. 試 験 方 法

鹿児島大学付属農場水田表土（シラス沖積層）の2.0 kg 乾土相当量の湿润土に炭酸カルシウムを加え、

pH (KCl) を 6.5 に調整した。これに所定量の硝化作用抑制剤および尿素を同時に加え、さらに第一りん酸カリウムおよび第二りん酸カリウムを用いておのおの 0.5 g の  $P_2O_5$  および  $K_2O$  を添加した。これを 1/5,000 アールワグネルポットに充填し、その上に 0.5 kg 乾土相当量の湿润土（炭酸カルシウムを用いて pH を 6.5 に調整）を加え、土壤水分を最大容水量の 60% に調整した。6月4日に各ポットに水稻品種「ほうよく」を 6 粒ずつ播種し、その後 3, 4 日毎に土壤水分を調整して細状態で 4 週間水稻を栽培した。7月2日に各ポットの水稻苗を 3 本に間引きしたのち、1.4 l の水を加えて湛水状態とし、一夜静置後ポットの下部排水孔より浸透水を 1 l 採取した。浸透水を採取し終ったポットには再び 1 l の水を加え、翌日同量の浸透水を採取した。このようにして各ポットより浸透水を 1 日 1 l ずつ連続 3 日間採取し、その中の硝酸態およびアンモニア態窒素を CONWAY の微量拡散分析法<sup>5)</sup>により測定した。浸透水を採取したのち、対照区の 0—10 区および 2—8 区には所定量の窒素を尿素を用いて加え、いずれも湛水状態で水稻を栽培した。水稻は生育各期に生育量を測定し、10月17日に抜き取って穂および葉に分解し、おのおのの重量および窒素含有量を測定した。なおこの試験に用いた土壤の理化学的性質は第1表に、試験区の構成は第2表に示した。

## III. 試 験 結 果

浸透水中の無機態窒素量は第1図に示した通りである。この図から明らかなように窒素無添加の場合はいずれの区も無機態窒素の流出がほとんどみられなかつた。窒素添加の場合に、対照区では 2—8 区の窒素流出量はわずかであったが、10—0 区では 94 mg の窒素が流出した。薬品添加区における窒素流出量は次の順

Table 1. Some properties of soil

Texture	pH*		Total** carbon (%)	Total nitrogen (%)	C. E. C.*** (m.e.)	Maximum water capacity (%)
	H <sub>2</sub> O	KCl				
S L	6.5	5.6	1.37	0.146	10.9	82.9

Remarks : \* pH value was determined by means of a glass electrode.

\*\* Turin's method

\*\*\* Schollenberger's method

Table 2. Experimental design

Chemicals added	Concentration, ppm on dry soil	Nitrogen application system	Nitrogen applied, g/pot	
			Base	Flooding time
2,5-Dichlorophenyl isothiocyanate* (2,5-CPI)	50	10—0	0.3	—
	0—0	—	—	—
	10—0	0.3	—	—
	0—0	—	—	—
	10—0	0.3	—	—
	0—0	—	—	—
2-Methyl-4-amino-6-(trichloromethyl) triazine** (Triazine derivative)	50	10—0	0.3	—
	0—0	—	—	—
	10—0	0.3	—	—
	0—0	—	—	—
	10—0	0.3	—	—
	0—0	—	—	—
2-Amino-4-chloro-6-methyl pyrimidine** (Pyrimidine derivative)	50	10—0	0.3	—
	0—0	—	—	—
	10—0	0.3	—	—
	0—0	—	—	—
	10—0	0.3	—	—
	0—0	—	—	—
Dicyanodiamide*** (DDA)	50	10—0	0.3	—
	0—0	—	—	—
	10—0	0.3	—	—
	0—0	—	—	—
	10—0	0.3	—	—
	0—0	—	—	—
2-Chloro-6-(trichloromethyl) pyridine** (N-Serve)	50	10—0	0.3	—
	0—0	—	—	—
	10—0	0.3	—	—
	0—0	—	—	—
	10—0	0.3	—	—
	0—0	—	—	—
Check		10—0	0.3	—
		0—10	—	0.3
		2—8	0.06	0.24
		0—0	—	—
		—	—	—

Remarks : \* Emulsion

\*\* Mixture with asbestos powder

\*\*\* Water solution

Pot ; 1/5000  $\alpha$

Weight of soil used ; 3.5 kg (2.5 kg dry soil)

Nitrogen applied ; Urea

Phosphate and potassium applied ; 0.5 g of P<sub>2</sub>O<sub>5</sub> and K<sub>2</sub>O respectively by using KH<sub>2</sub>PO<sub>4</sub> and K<sub>2</sub>HPO<sub>4</sub> to each pot

Replication ; 3

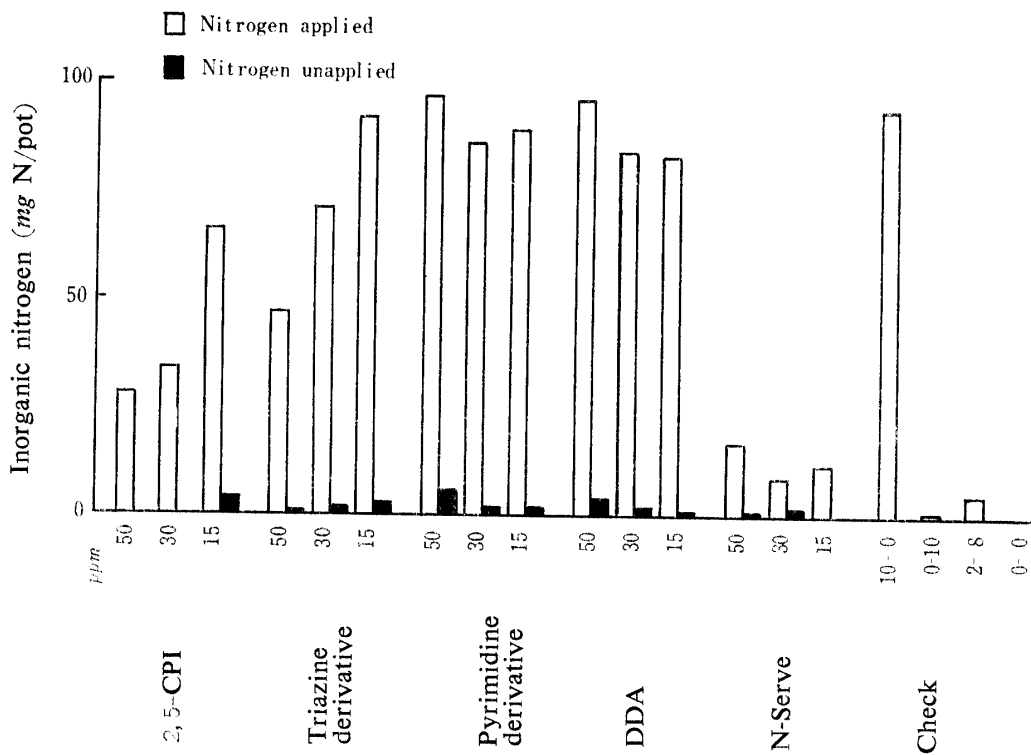


Fig. 1. Inorganic nitrogen in percolates

序であった。

**Pyrimidine** 誘導体区=DDA 区>**Triazine** 誘導体区>2,5-CPI 区>N-Serve 区

なお **Pyrimidine** 誘導体区および DDA 区は対照区の 10-0 区と大差なかった。

薬品添加濃度と窒素流出量との関係についてみると 2,5-CPI 区および Triazine 誘導体区においては薬品添加濃度が大なるほど窒素流出量が小であったが、その他の区では薬品添加濃度と窒素流出量との間に一定の関係はみられなかった。

水稻の生育各期における草丈および茎数は第 2 図および第 3 図に示した通りである。まず草丈(第 2 図)についてみると、7月2日(灌水期)において窒素添加の場合は、対照区では 10-0 区が 0-10 区および 2-8 区に比して大であった。薬品添加区では Triazine 誘導体 30 ppm 区が最も大で、N-Serve 50 ppm 区が最も小であり、N-Serve 30 ppm 区も明らかに小であったが、その他の区は大差なかった。N-Serve 区においては水稻が乾田期間中に薬害を受け、とくに 50 ppm 区は薬害が甚だしくて水稻の枯死するものが多く、30 ppm 区においても水稻の生育障害が明らかに認められた。窒素無添加の場合は Triazine 誘導体 30 ppm 区が最も大で、N-Serve 50 ppm 区が最も小であった。また Pyrimidine 誘導体区は他の区に比してわずかに

小であった。8月1日(最高分蘖期)において、窒素添加の場合は、対照区では 0-10 区が最も大で、10-0 区が最も小であったが、薬品添加区はいずれもその中間であった。またこの時期には N-Serve 区は水稻の生育障害がなくなり、葉色が他の区に比して濃くなかった。窒素無添加の場合は DDA 30 ppm 区が最も大で、Pyrimidine 誘導体区は他の区に比して小であった。8月21日(幼穗形成期)において窒素添加の場合は N-Serve 50 ppm 区が最も大で、対照区の 10-0 区が最も小であった。窒素無添加の場合は 2,5-CPI 50 ppm 区および Pyrimidine 誘導体 15 ppm 区が他の区に比して大で、対照区が最も小であった。9月10日(出穂後)において、窒素添加の場合は 2,5-CPI 15 ppm 区が最も大で、対照区の 10-0 区が最も小であった。2,5-CPI 区および N-Serve 区の草丈は概して Triazine 誘導体区、Pyrimidine 誘導体区および DDA 区に比して大であった。窒素無添加の場合は Pyrimidine 誘導体 15 ppm 区が最も大で、DDA 50 ppm 区および対照区は他の区に比して小であった。

次に茎数(第 3 図)についてみると、7月2日において窒素添加の場合は概して薬品添加区が対照区に比して大であった。ただ N-Serve 50 ppm 区は薬品による水稻の生育障害のため茎数が他の区に比して著しく少なかった。窒素無添加の場合は N-Serve 50 ppm 区

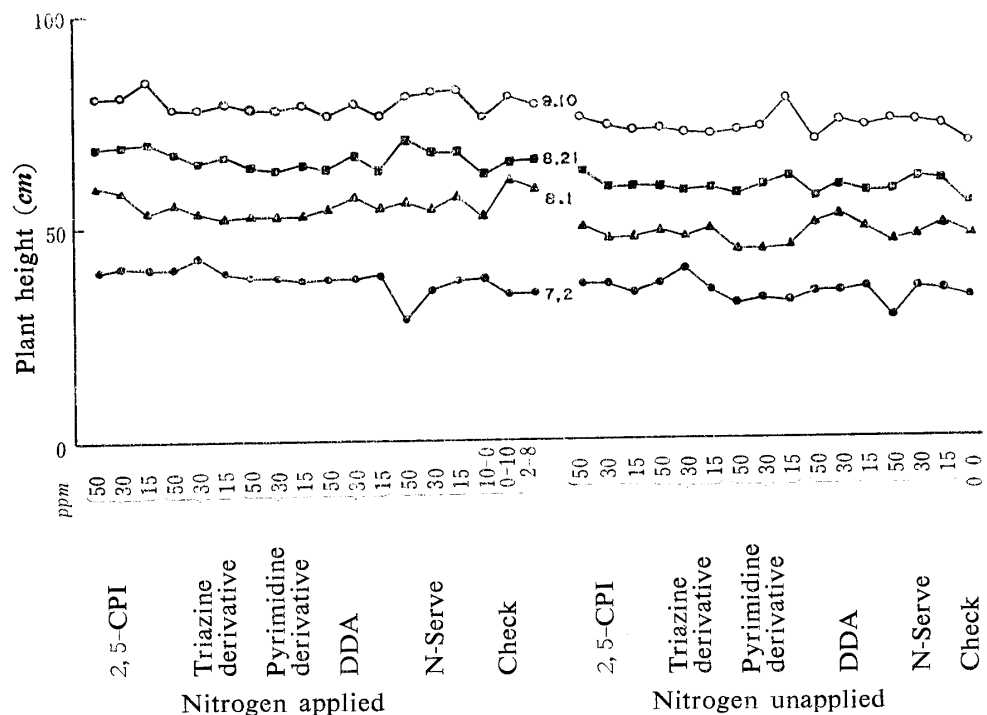


Fig. 2. Plant height

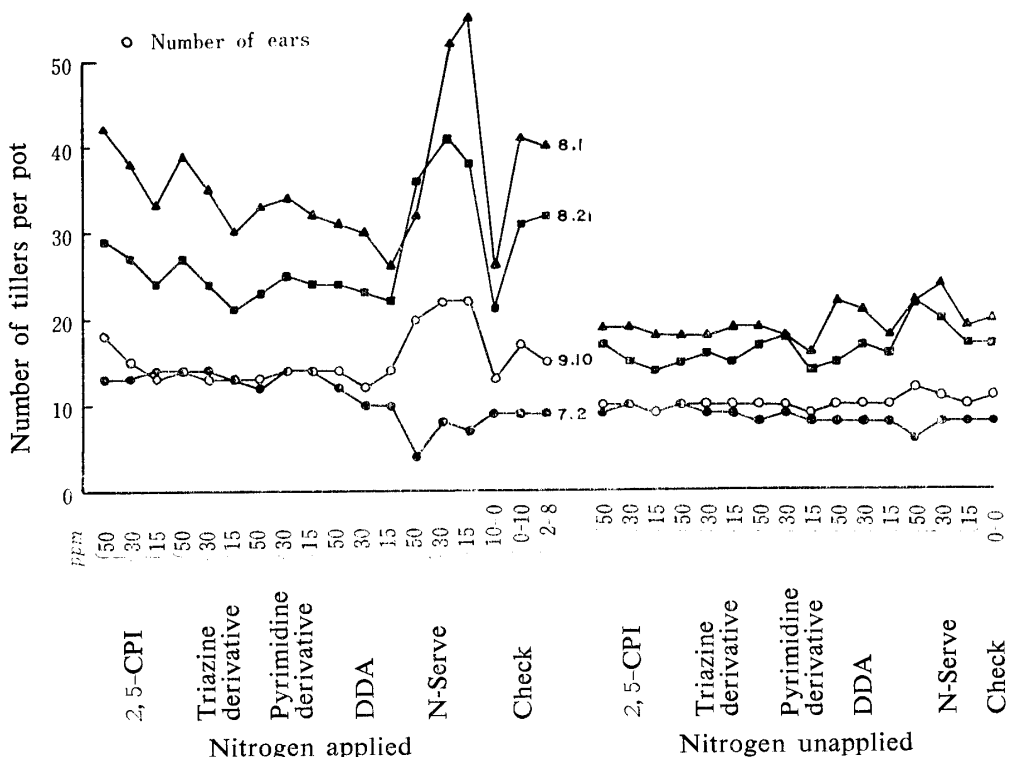


Fig. 3. Number of tillers

が他の区に比して小であったほかは各区間に大差がなかった。8月1日において窒素添加の場合は、対照区では0—10区および2—8区が10—0区に比して著しく大であった。2,5-CPI区、Triazine誘導体区およ

びDDA区では50ppm区が最も大で、以下30ppm区、15ppm区の順となり、N-Serve区では15ppm区、30ppm区、50ppm区の順となったが、Pyrimidine誘導体区では薬品添加濃度の相違による茎数の



も他の区に比して著しく大で、2,5-CPI区およびTriazine誘導体区がこれに次ぎ、Pyrimidine誘導体区およびDDA区は対照区の10—0区と大差なかった。2,5-CPI区およびTriazine誘導体区は薬品添加濃度の大なるものほど精耕重は大であり、N-Serve区においては50および30ppm区はほぼ同じで、15ppm区はそれより小であった。窒素無添加の場合にN-Serve区の50および30ppm区は対照区に比して大であったが、Pyrimidine誘導体区は対照区に比して小であった。その他の区は対照区と大差なかった。

次に葉重についてみると、窒素添加の場合は対照区では0—10区および2—8区はほぼ同じで、10—0区はこれらに比して小であった。薬品添加区はいずれも対照区の10—0区に比して大で、とくに2,5-CPI区の50および30ppm区およびN-Serve区は対照区の追肥区に比して大であった。薬品添加区の葉重は次の順序であった。

N-Serve区>2,5-CPI区≥Triazine誘導体区>Pyrimidine誘導体区=DDA区

薬品添加濃度と葉重の関係についてみると、N-Serve区は30ppm区が最も大で、15ppm区がこれに次ぎ、50ppm区が最も小であったが、その他の区はいずれも薬品添加濃度の大なるものほど葉重が大であった。

窒素無添加の場合は、2,5-CPI区およびDDA区の50および30ppm区、およびN-Serve区は対照区に比して大であったが、Pyrimidine誘導体区はいずれも対照区に比して小であり、また薬品添加濃度の大なるほど小であった。

水稻体の窒素吸収量についてみると、窒素添加の場合は対照区の0—10区および2—8区はほぼ等しく、10—0区はこれらより明らかに小であった。薬品添加区では2,5-CPI区、Triazine誘導体区およびN-Serve区はいずれも対照区の10—0区に比して明らかに大であり、とくにN-Serve区の窒素吸収量は他の区に比して著しく大であった。しかしながらPyrimidine誘導体区およびDDA区は対照区の10—0区に比してわずかに大であった。薬品添加濃度と水稻体の窒素吸収量との関係についてみると、2,5-CPI区では50ppm区が最も大で、30ppm区がそれよりわずかに小であったが、15ppm区は明らかに小であった。Triazine誘導体区では50ppm区が最も大で、30および15ppm区はほぼ同じであった。N-Serve区では30ppm区が最も大で、50ppm区がこれに次ぎ、15ppm区が最も小であった。Pyrimidine誘導体区および

DDA区は薬品添加濃度の増加に伴い窒素吸収量がわずかに増加した。

窒素無添加の場合は、2,5-CPI区およびDDA区の50および30ppm区、およびN-Serve区は対照区に比して大であったが、Pyrimidine誘導体区は対照区に比して小であった。2,5-CPI区、Triazine誘導体区およびN-Serve区は薬品添加濃度の大なるほど窒素吸収量が大であったが、Pyrimidine誘導体区においては薬品添加濃度の大なるほど窒素吸収量は小であった。

窒素吸収率についてみると、対照区の10—0区は23%であったが、薬品添加区はいずれもそれより大であった。対照区の0—10区および2—8区はそれぞれ46および44%を示したが、N-Serve区はそれらに比して著しく大であった。また2,5-CPI区の50および30ppm区は対照区の追肥区に比してわずかに大であり、Triazine誘導体50ppm区はわずかに小であったが、Pyrimidine誘導体区およびDDA区は明らかに小であった。

#### IV. 考察

水稻乾田直播栽培において、基肥として施す窒素肥料に硝化作用抑制剤を添加することにより、水稻に対する窒素肥料の肥効増進および施肥労力節減を図りうることはすでに報告されている<sup>2)3)12)13)15)</sup>。その後数種類の硝化作用抑制剤が研究開発され<sup>1)1)</sup>、その一部のものはすでに実用化の段階に来ている<sup>14)</sup>。よってこれらの硝化作用抑制剤について、薬品添加濃度と水稻の生育および収量との関係を知るためポット栽培試験を行なった。この試験に用いた土壌は鹿児島大学付属農場水田表土で、水稻収穫後冬期間を休閑とした圃場より採取したものであり、その理化学的性質は第1表に示した通りである。この土壌は既往の研究結果からみれば、本試験に用いた硝化作用抑制剤の効果の比較的高く現われる土壌である<sup>9)11)12)</sup>。試験区の構成は第2表に示したが、この試験に用いた薬品は現在研究開発されている硝化作用抑制剤のうちの一部のものである。各ポットは水稻を播種したのち、土壤水分を最大容水量の60%になるように3、4日毎に水を補給したが、乾田期間の土壤水分は最大容水量の60~34%であった。各ポットは4週間畠状態で経過させたのち水を加えて湛水状態にし、1日1lずつ連続3日間、合計3lの浸透水を採取し、その中の無機態窒素量を測定した。その結果は第1図に示した通りである。浸透水中の無機態窒素は主として硝酸態であるが<sup>9)</sup>、窒素

無添加の場合には無機態窒素はほとんど流出しなかった。これに対し窒素添加の場合は対照区の10—0区において添加窒素量の約30%に当る94mgの窒素が流出し、Pyrimidine誘導体区およびDDA区においてもほぼ同量の窒素が流出した。しかるに2,5-CPI区、Triazine誘導体区およびN-Serve区は窒素流出量が対照区に比して小で、とくにN-Serve区の窒素流出量は著しく小であった。これは2,5-CPI、Triazine誘導体およびN-Serveが乾田期間における土壤の硝化作用を抑制し、Pyrimidine誘導体およびDDAはその作用が小さかったことを示しているものと考えられる。

浸透水を採取し終ったポットは、その後湛水状態にして水稻を栽培した。水稻の生育量の推移は第2図および第3図に示した通りである。まず草丈(第2図)についてみると、窒素添加の場合に対照区では7月2日(湛水期)において10—0区が0—10区および2—8区に比して大であったが、8月1日以後においては追肥区が10—0区に比して大であった。薬品添加区のうちN-Serve50ppm区は7月2日における草丈が他の区に比して著しく小で、N-Serve30ppm区も明らかに小であった。N-Serve50ppm区は乾田期間の後半において水稻の生育が甚だしく害され、N-Serve30ppm区においても水稻の生育障害が明らかに認められた。このような薬害が生じたのは前述のように乾田期間の土壤水分が最大容水量の60~34%に変動したため、水稻に対する薬品の濃度が一時的に高くなつたためであると推察される<sup>1)</sup>。しかしながらN-Serve区の50および30ppm区においては湛水後に生育が旺んになり、葉色も他の区に比して明らかに濃くなつた。8月1日以降において薬品添加区はいずれも対照区の10—0区に比して草丈が大であったが、薬品添加濃度と草丈との間に一定の関係はみられなかつた。窒素無添加の場合は7月2日においてTriazine誘導体30ppm区が最も大で、N-Serve区が最も小であり、またPyrimidine誘導体区は他の区に比してやや小であったが、その他の区は大差なかつた。8月1日においてPyrimidine誘導体区は他の区に比して小であったが、8月21日以後において薬品添加区はいずれも対照区に比して大であった。

次に茎数(第3図)についてみると、窒素添加の場合に薬品添加区は7月2日においてN-Serve50ppm区を除きいずれも対照区に比して大であった。しかし各区とも薬品添加濃度と茎数の間に一定の関係は認められなかつた。8月1日(最高分蘖期)および8月21

日(幼穗形成期)において薬品添加区は1,2の例外を除き、いずれも対照区の10—0区に比して大であつた。とくにN-Serve区は他の薬品添加区に比して著しく大で、対照区の追肥区より大であった。2,5-CPI区、Triazine誘導体区およびDDA区は薬品添加濃度が大なるほど分蘖数が大であったが、N-Serve区は50ppm区が30および15ppm区に比して小であった。9月10日の穗数をみると、N-Serve区は他の区に比して著しく大であり、また2,5-CPI区の50および30ppm区は対照区の追肥区とほぼ同じであった。しかしながらその他の薬品添加区はいずれも対照区の10—0区と大差なかつた。N-Serve区では50ppm区が30および15ppm区に比して小であったが、これは50ppm区における水稻の初期生育障害がその後の湛水により十分回復しなかつたためであると考えられる。窒素無添加の場合は7月2日においてN-Serve50ppm区が他の区に比して小であったが、他の区はいずれも大差なかつた。最高分蘖期においてDDA区およびN-Serve区の50および30ppm区は他の区に比して大で、Pyrimidine誘導体15ppm区は小であったが、他の区はいずれも大差なかつた。穗数はN-Serve50ppm区がやや大であったが、他の区はいずれも大差なかつた。

水稻は10月17日(成熟期)にポットより抜き取り、根を除いたのち穂および葉に分け、おのおのの重量および窒素含有量を測定した。得られた結果は第3表の通りである。まず粒重についてみると、窒素添加の場合に対照区の0—10区および2—8区は10—0区に比して明らかに大であった。薬品添加区では2,5-CPI区、Triazine誘導体区およびN-Serve区は対照区の10—0区に比して大で、とくにN-Serve区は他の区に比して著しく大であった。また2,5-CPI区の50および30ppm区およびTriazine誘導体50ppm区は対照区の追肥区とほぼ同じであった。この結果はこれらの薬品の利用による追肥労力の節減の可能性の示唆しているものと考えられる。しかしながらPyrimidine誘導体区およびDDA区は対照区の10—0区とほぼ同じか、わずかに大であった。窒素無添加の場合に2,5-CPI50ppm区、およびDDA区およびN-Serve区の50および30ppm区は対照区に比して大であったが、Pyrimidine誘導体区は対照区に比して小であった。

次に稈重についてみると、稈の場合とほぼ同じ傾向を示したが、ただ窒素添加区においては稈の場合と異なり、Pyrimidine誘導体区およびDDA区が対照区

の 10—0 区に比して明らかに大であった。このことは Pyrimidine 誘導体および DDA の効果が水稻の生育前期に発現して、稲生産にまでおよばなかったことを示しているものと思われる。なお窒素無添加の場合に Pyrimidine 誘導体 50 ppm 区は精粋重および藁重が対照区に比して明らかに小であったが、これは薬品の影響によるものと推察される。

水稻体の窒素吸収量についてみると、窒素添加の場合に対照区では 0—10 区および 2—8 区が 10—0 区に比して明らかに大であった。これは 10—0 区において 4 週間の乾田期間中に添加窒素のかなりの部分が硝化され、その後の湛水により流亡および脱空したためであると考えられる。薬品添加区はいずれも対照区の 10—0 区に比して窒素吸収量が大であったが、とくに N-Serve 区は対照区の追肥区に比して著しく大であった。これは N-Serve が乾田期間ばかりでなく、湛水後の土壤の硝化作用を抑制したため流亡、脱空により失われる窒素量が減少したことによるものと考えられる<sup>10)</sup>。また 2,5-CPI 区の 50 および 30 ppm 区および Triazine 誘導体 50 ppm 区は対照区の追肥区とほぼ同量の窒素を吸収したが、その他の薬品添加区はいずれも対照区の追肥区におよばなかった。窒素無添加の場合に N-Serve 区は対照区に比して窒素吸収量が大であったが、これは N-Serve が土壤有機態窒素の無機化を促進したのではなく、無機化した窒素の硝化を抑制することにより湛水による窒素の損失を防止したためであると思われる<sup>10)</sup>。また DDA 区の 50 および 30 ppm 区も対照区に比して窒素吸収量が大であったが、これは DDA が水稻に利用されたためであると推察される<sup>8)</sup>。

施肥窒素の水稻に対する利用率についてみると、対照区の 10—0 区は 23% であったが、追肥区は約 45% であった。薬品添加区はいずれも対照区の 10—0 区に比して大であり、とくに N-Serve 区の窒素吸収率は著しく大で、添加窒素の約 70% が吸収された。また 2,5-CPI 区の 50 および 30 ppm 区、および Triazine 誘導体 50 ppm 区においては対照区の追肥区とほぼ同じ窒素吸収率を示した。

以上に述べたように、本試験の結果から硝化作用抑制剤の利用により乾田直播水稻の基肥として施した窒素の損失が防止され、その肥効の増進されることが明らかになった。さらにまた N-Serve を用いた場合のように、水稻乾田直播栽培において唱導されている窒素の追肥重点施用の場合より増収することのあることもわかった。しかしながら硝化作用抑制剤の種類、添

加濃度および土壤条件によっては作物に対して薬害を生ずることがあるので、その利用に当っては十分な注意が必要であると思われる。

## V. 摘要

水稻乾田直播栽培において基肥窒素の肥効および作物の生育におよぼす硝化作用抑制剤の影響について知るためポット栽培試験を行なった。得られた結果は次の通りである。

1. 硝化作用抑制剤および基肥窒素の添加後 4 週間乾田状態で経過せしめ、その後湛水して浸透水を採取したが、浸透水中の無機態窒素量は次の順序であった。

対照区 ≈ Pyrimidine 誘導体区 ≈ DDA 区 > Triazine 誘導体区 > 2,5-CPI 区 ≈ N-Serve 区

2. N-Serve 区はとくに 50 ppm 区において乾田期間の水稻の生育障害が甚だしかったが、湛水後に回復し、その後の生育は対照区の追肥区に比して旺盛であった。

3. 対照区の精粋重、藁重および窒素吸収量は 0—10 区および 2—8 区はほぼ等しく、10—0 区はそれより明らかに小であった。

4. 窒素添加の場合の精粋重、藁重および窒素吸収量は次の順序であった。

N-Serve 区 > 2,5-CPI 区 ≈ Triazine 誘導体区 > Pyrimidine 誘導体区 ≈ DDA 区 ≈ 対照区 (10—0 区)

5. 薬品添加区のうちで精粋重が対照区の追肥区と同等以上を示した区は N-Serve 50~15 ppm 区、2,5-CPI 区の 50 および 30 ppm 区、および Triazine 誘導体 50 ppm 区であった。

6. 2,5-CPI 区および Triazine 誘導体区の精粋重は 50 ppm 区 > 30 ppm 区 > 15 ppm 区の順であったが、N-Serve 区は 50 ppm 区 > 30 ppm 区 > 15 ppm 区の順であった。

7. 窒素無添加の場合に 2,5-CPI 区、N-Serve 区および DDA 区の 50 および 30 ppm 区の精粋重は対照区に比して大であったが、Pyrimidine 誘導体区は対照区に比して小であった。

## 引用文献

- GORING, C. A. I.: *Soil Sci.*, **93**, 211 (1962)
- 橋元秀教・丹野貢: 土肥要旨集, **12**, 99 (1966)
- 橋元秀教・丹野貢・小坪和男・綠川覚二: 土肥要旨集, **10**, 28 (1964)
- 石川昌男・新村善男・上森晃: 土肥要旨集, **9**, 42 (1963)
- 甲斐秀昭: 土肥要旨集, **7**, 120 (1960)

- 6) 諸岡稔・渡辺敏夫：土肥要旨集，**10**，23（1964）  
 7) 木松輝久・渡辺敏夫：土肥要旨集，**10**，94（1964）  
 8) 村田久次：日農化誌，**6**，284（1930）  
 9) 西原典則：鹿大農學術報告，**12**，107（1962）  
 10) 西原典則：土肥要旨集，**10**，100（1964）  
 11) 西原典則：土と微生物，**7**，28（1965）  
 12) 西原典則・原田登五郎・甲斐秀昭・大島康義・  
 木下良郎：土肥要旨集，**11**，27（1965）  
 13) 西原典則・恒吉義雄：鹿大農學術報告，**15**，91  
 (1964)  
 14) 農林省肥料課・通産省化学肥料部：肥料年鑑，  
 1967年版，肥料協会新聞部，188pp. (1967)  
 15) 三幣正巳・田中様子：土肥要旨集，**10**，47（1964）

### Summary

Urea fertilizers mixed with three concentrations (50, 30 and 15 ppm on dry soil) of nitrification inhibitors were applied as basic dressing to the direct sowing paddy rice plants in pots, the soil moisture being kept at 60% of the maximum water capacity for a period of 4 weeks, followed by flooding. Inorganic nitrogen percolated from each pot was estimated.

The rice seedlings were grown under the flooding condition following the upland, and harvested at mature stage to weigh the grain and the straw yields and also to determine the nitrogen contents in them. The results obtained were as follows:

- 1) The amounts of inorganic nitrogen in the percolates, as shown in Fig. 1, were greatly decreased by the addition of 2,5-dichlorophenyl isothiocyanate (2,5-CPI), 2-methyl-4-amino-6-(trichloromethyl) triazine (triazine derivative), and particularly 2-chloro-6-(trichloromethyl) pyridine (N-Serve), but were not decreased by the addition of 2-amino-4-chloro-6-methyl pyrimidine (pyrimidine derivative) and dicyanodiamide (DDA).
- 2) N-Serve at 50 ppm did harm to the plant growth in the period of upland condition, but it did no harm after flooding.
- 3) In N-Serve plots after flooding, the leaves of plants were more greenish and the number of tillers was even greater than in the top dressing plots in check.
- 4) According to the yields of grain and straw and the amounts of nitrogen absorbed by plants in the nitrogen applied plots, as shown in Table 3, the following series was obtained;  
 $\text{N-Serve} \gg 2,5\text{-CPI} \geq \text{triazine derivative} > \text{pyrimidine derivative} = \text{DDA} \geq \text{check}$  (basic dressing plots)
- 5) The grain yields of 50~15 ppm plots of N-Serve were much larger than those of the top dressing plots in check, and the yields of 50 and 30 ppm plots of 2,5-CPI and 50 ppm plot of triazine derivative were as much as those of the top dressing plots in check.
- 6) The grain yields in 2,5-CPI and triazine derivative plots increased with the concentration of agents added, while in N-Serve plots they remained similar in 50 and 30 ppm plots and were smaller in the 15 ppm plot.
- 7) In case of the non-application of nitrogen, 50 and 30 ppm plots of 2,5-CPI, N-Serve and DDA obtained larger yields of grain than the check plot; whereas the pyrimidine derivative plot, smaller.